

Математическое моделирование термоупругого разрушения хрупкого материала

Московский государственный технический университет имени Н.Э. Баумана
Кафедра «Прикладная математика»

29 июня 2020 г.



Студент группы ФН2-42М

Черняева С.А.

Научный руководитель
д.ф.-м.н., профессор кафедры ФН-2

Галанин М.П.

Постановка задачи. Цель

Цель

Построить одномерную и двумерную модели разрушения стержня и сечения топливной таблетки

Постановка задачи

- ❶ Тензор малых деформаций Коши:

$$\varepsilon_{kl} = \frac{1}{2} \left(\frac{\partial u_k}{\partial x_l} + \frac{\partial u_l}{\partial x_k} \right) = \varepsilon_{kl}^e + \varepsilon_{kl}^0, \quad (1)$$

$$\varepsilon_{kl}^0 = \varepsilon_{kl}^T = \alpha_{kl}^T \Delta T).$$

- ❷ Определяющее соотношение (закон Гука):

$$\sigma_{ij} = C_{ijkl} \varepsilon_{kl}^e = C_{ijkl} (\varepsilon_{kl} - \varepsilon_{kl}^0). \quad (2)$$

- ❸ Уравнение равновесия:

$$\frac{\partial \sigma_{ji}}{\partial x_j} + b_i = 0. \quad (3)$$

Одномерная модель

Температура

$$T(x, t) = \tilde{T} + F(x)t \sin(t)$$

Зависимость напряжения от деформации

$$\sigma(\varepsilon) = \begin{cases} E\varepsilon^e, & E\varepsilon^e < \sigma_f^v(\varepsilon); \\ \sigma_f^v(\varepsilon), & \sigma_f^v(\varepsilon) = \sigma_f \left(A + B e^{-c \frac{\varepsilon - \varepsilon^T}{\varepsilon_f}} \right), \quad E\varepsilon^e \geq \sigma_f^v(\varepsilon), \end{cases} \quad (4)$$

где $\sigma_f^v(\varepsilon)$: $\sigma_f^v(0) = \sigma_f$,

$$\varepsilon^e = \varepsilon - \varepsilon^T - \varepsilon^{crk}, \quad (5)$$

$$\varepsilon^{crk} = \varepsilon - \varepsilon^T - \frac{\sigma(\varepsilon)}{E}. \quad (6)$$

Математическая модель

Одномерная математическая модель

$$\begin{cases} T(x, t) = \tilde{T} + F(x) \sin(t), & t \geq 0, \quad 0 \leq x \leq l; \\ \frac{\partial \sigma}{\partial x} = 0, & 0 < x < l; \\ \sigma = \sigma(\varepsilon - \varepsilon^0), & \varepsilon = \frac{\partial u}{\partial x}, \quad \varepsilon^T = \alpha(T - T_0); \\ u(0, t) = u(l, t) = 0, \end{cases} \quad (7)$$

$$F(x) \sim \sin\left(\frac{\pi x}{l}\right), \quad F(x) = a \sin\left(\frac{\pi x}{l}\right)$$

Аналитическое решение для линейного случая

$$u(x, t) = \frac{alt\alpha \sin(t) - 2atx\alpha \sin(t) - alt\alpha \cos\left(\frac{\pi x}{l}\right) \sin(t)}{\pi}. \quad (8)$$

Результаты вычислений

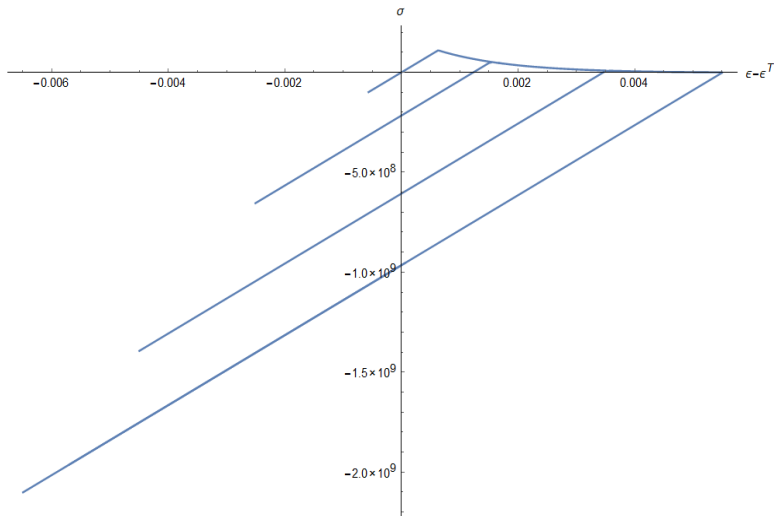
$t = 0.04$

i	h	τ	$\ error\ _C$	$(\ error_i\ _C / \ error_{i+1}\ _C)$
1	0.02	0.02	5.73226e-009	4.00035 4.00008 4.00003 4.
2	0.01	0.02	1.43294e-009	
3	0.005	0.02	3.58228e-010	
4	0.0025	0.02	8.95564e-011	
5	0.00125	0.02	2.23891e-011	

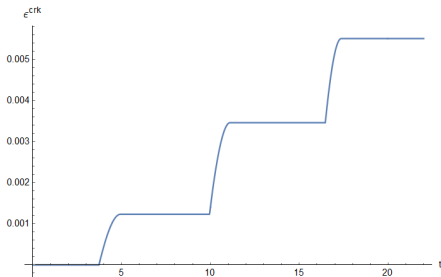
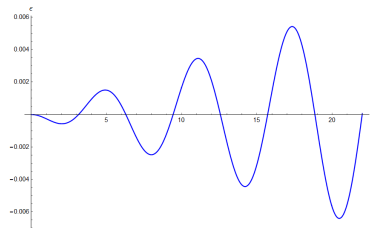
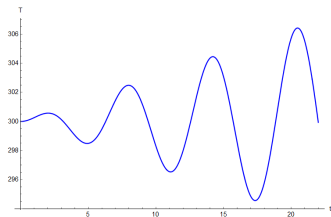
$t = 1$

i	h	τ	$\ error\ $	$(\ error_i\ / \ error_{i+1}\)$
1	0.02	0.02	4.63807e-009	4.00034 4.0001 4.00002 4.
2	0.01	0.02	1.15942e-009	
3	0.005	0.02	2.89848e-010	
4	0.0025	0.02	7.24616e-011	
5	0.00125	0.02	1.81154e-011	

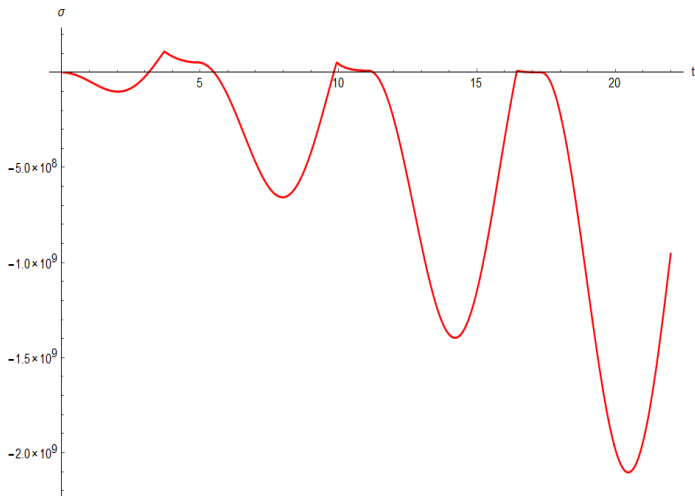
Зависимость σ от ε при знакопеременном нагружении



Зависимость T , ε , ε_{crk} от t



Зависимость σ от t



Двумерный случай

Уравнение равновесия и матрица упругих коэффициентов

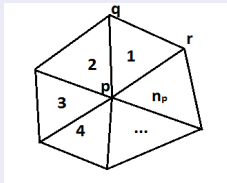
$$\begin{cases} \frac{\partial \sigma_{xx}}{\partial x} + \frac{\partial \sigma_{yx}}{\partial y} + b_x = 0, \\ \frac{\partial \sigma_{xy}}{\partial x} + \frac{\partial \sigma_{yy}}{\partial y} + b_y = 0. \end{cases}$$

$$C = E \frac{1 - \nu}{(1 + \nu)(1 - 2\nu)} \begin{pmatrix} 1 & \frac{\nu}{1 - \nu} & 0 \\ \frac{\nu}{1 - \nu} & 1 & 0 \\ 0 & 0 & \frac{1 - 2\nu}{2(1 - \nu)} \end{pmatrix}$$

МКЭ на треугольной неравномерной сетке

$$[K]\{U\} = R_U(T),$$

$$u = \sum_{p=1}^N \sum_{i=1}^{n_p} u_{pi} N_{pi}(x, y)$$



$$N_{pi} = \frac{1}{\Delta} (a_{pi} + b_{pi}x + c_{pi}y)$$

Результаты вычислений для кинематических граничных условий

$$u_i(\vec{x}, t) = \tilde{u}_i(\vec{x}, t)$$

$$\Delta T(x, y, t) = -1000t\sqrt{(x - x_f/2)^2 + (y - y_f/2)^2}$$

h	$\ error\ $	$(\ error_i\ /\ error_{i+1}\)$
$u(x, t) = (y^2 e^x ; \cos(xy) + \sin(xy))^T$		
7.5e-4	4.9698e-08	
3.75e-4	1.1785e-08	4.2170
1.875e-4	3.2510e-09	3.6250
$u(x, t) = (e^{x^2+y^2} ; \tanh(xy))^T$		
7.5e-4	3.7796e-08	
3.75e-4	1.0721e-08	3.5255
1.875e-4	3.2510e-09	3.6345
$u(x, t) = \arctan(x + y) ; \sinh(xy))^T$		
7.5e-4	5.3041e-06	
3.75e-4	1.1476e-06	4.6218
1.875e-4	3.3861e-07	3.3892

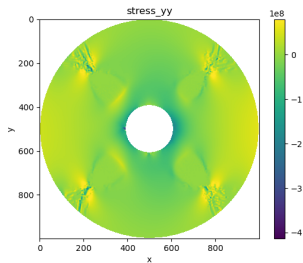
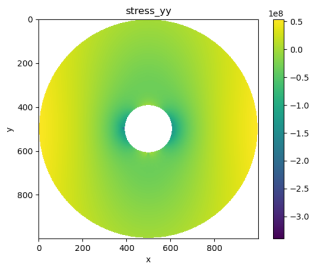
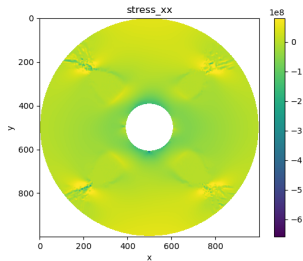
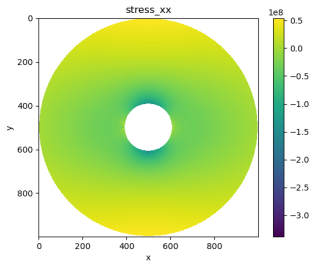
Результаты вычислений для кинематических и силовых граничных условий

$$u_i(\vec{x}, t) = \tilde{u}_i(\vec{x}, t), \sigma_{ij}(\vec{x})n_j(\vec{x}) = \tilde{p}_i(\vec{x})$$

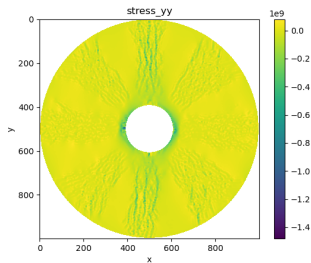
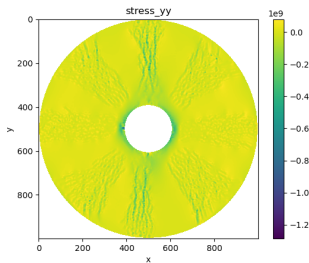
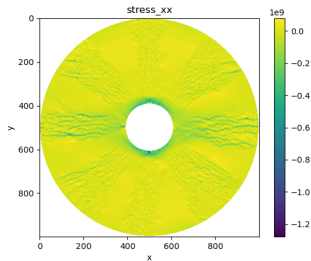
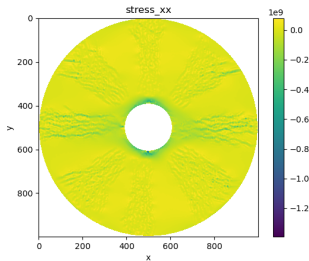
$$\Delta T(x, y, t) = -1000t\sqrt{(x - x_f/2)^2 + (y - y_f/2)^2}$$

h	$\ error\ $	$(\ error_i\ /\ error_{i+1}\)$
$u(x, t) = (y^2 e^x ; \cos(xy) + \sin(xy))^T$		
7.5e-4	1.4322e-07	
3.75e-4	3.5424e-08	4.0430
1.875e-4	9.4731e-09	3.7394
$u(x, t) = (e^{x^2+y^2} ; \tanh(xy))^T$		
7.5e-4	1.0206e-07	
3.75e-4	2.4944e-08	4.0914
1.875e-4	6.8848e-09	3.6231
$u(x, t) = \arctan(x + y) ; \sinh(xy))^T$		
7.5e-4	9.3674e-06	
3.75e-4	2.3254e-06	4.0283
1.875e-4	0.6060e-06	3.76084

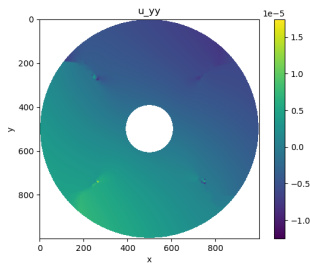
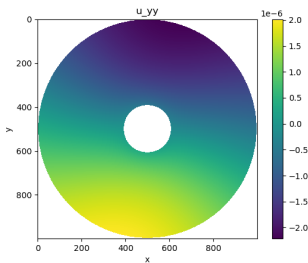
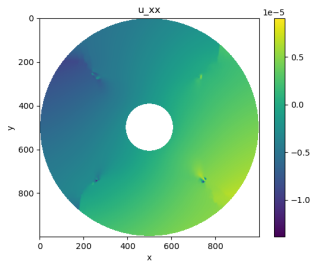
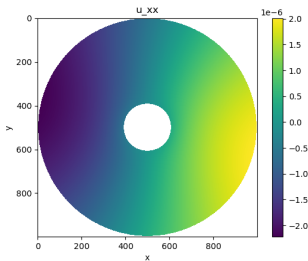
$\sigma_{xx}(x, y), \sigma_{yy}(x, y)$ при $t = 0.09t_f, t = 0.2t_f$



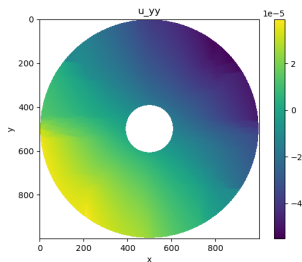
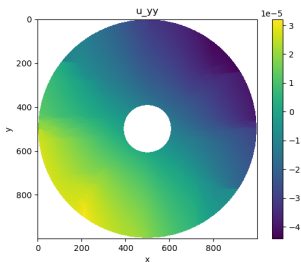
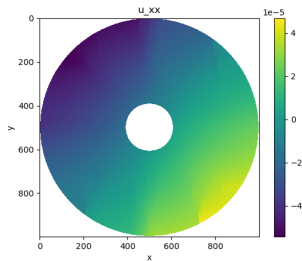
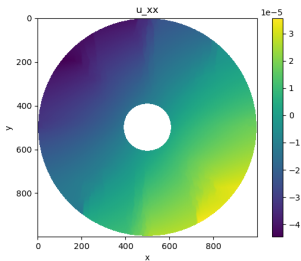
$\sigma_{xx}(x, y), \sigma_{yy}(x, y)$ при $t = 0.8t_f, t = t_f$



$u_x(x, y), u_y(x, y)$ при $t = 0.09t_f, t = 0.2t_f$



$u_x(x, y), u_y(x, y)$ при $t = 0.8t_f, t = t_f$



- ❶ Построена математическая модель разрушения стержня в одномерном случае и сечения топливной таблетки в двумерном
- ❷ Методом конечных элементов на неравномерной треугольной сетке решена задача термоупругости
- ❸ Во всех задачах подтвержден порядок точности схемы на известных аналитических решениях
- ❹ Проведен графический анализ распространения трещин, основанный на графиках напряжений, перемещений в различные временные промежутки

Спасибо за внимание!